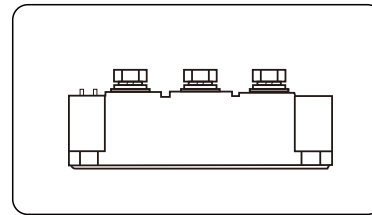




特点

- 1). 芯片与底板电气绝缘, 2500V交流电压
- 2). 优良的温度特性和功率循环能力
- 3). 低正向压降
- 4). 高浪涌电流
- 5). 最高工作结温达125°C
- 6). 体积小, 重量轻



典型应用

- | | |
|--------------------|-----------------------------|
| 1). 仪器设备的直流电源 | $I_{T(AV)}$ 160A |
| 2). PWM 变频器的输入整流电源 | V_{DRM}/V_{RRM} 400~2600V |
| 3). 逆变焊机 | I_{TSM} 5.2 KA |
| 4). 直流电机励磁电源 | I^2t $135A^2S*10^3$ |
| 5). 开关电源的输入整流 | 7). 电气拖动和辅助电流 |
| 6). 软起动电容充电 | 8). 电池充电直流电源 |

主要参数

符号	参数	测试条件	结温	参数值			单位
			T_j (°C)	最小	典型	最大	
$I_{T(AV)}$	通态平均电流	180° 正弦半波, 50Hz单面散热, $T_c=85^\circ C$	125			160	A
$I_{T(RMS)}$	方均根电流		125			251	A
V_{DRM}	断态重复峰值电压	$V_{DRM} \& V_{RRM}$ tp=10ms	125	400		2600	V
V_{RRM}	反向重复峰值电压	$V_{DSM} \& V_{RSM}=V_{DRM} \& V_{RRM}+200V$					
I_{DRM}	断态重复峰值电流	$V_{DM}=V_{DRM}$	125			20	mA
I_{RRM}	反向重复峰值电流	$V_{RM}=V_{RRM}$					
I_{TSM}	通态不重复浪涌电流	10ms 正弦半波	125			5.20	KA
I^2t	浪涌电流平方时间积	$V_R=0.6V_{RRM}$				135	A^2s*10^3
V_{TO}	门槛电压		125			0.80	V
r_T	斜率电阻					1.69	$m\Omega$
V_{TM}	通态峰值电压	$I_{TM}=270A$	25			1.70	V
dv/dt	断态电压临界上升率	$V_{DM}=67\%V_{DRM}$	125			800	$V/\mu s$
di/dt	通态电流临界上升率	$I_{TM}=110A$, 门极触发电流幅值 $I_{GM}=1.5A$, 门极上升时间 $t_r \leq 0.5 \mu s$	125			100	$A/\mu s$
I_{GT}	门极触发电流			30		150	mA
V_{GT}	门极触发电压	$V_A=12V$, $I_A=1A$	25	0.8		2.5	V
I_H	维持电流			20		120	mA
V_{GD}	门极不触发电压	At 67% V_{DRM}	125	0.2			V
$R_{th(j-c)}$	热阻抗(结至壳)	180° 正弦波, 单面散热				0.170	$^\circ C/W$
$R_{th(c-h)}$	热阻抗(壳至散)	180° 正弦波, 单面散热				0.08	$^\circ C/W$
V_{iso}	绝缘电压	50Hz, R.M.S, t=1min, $I_{iso}:1mA(MAX)$		2500			V
F_m	安装扭矩(M5)			6			$N\cdot m$
	安装扭矩(M6)			6			$N\cdot m$
T_{stg}	贮存温度		-40			125	°C
W_t	质量	外形为301F		240			g
Size	包装盒尺寸	210×110×42 (6只装)					mm

性能曲线图

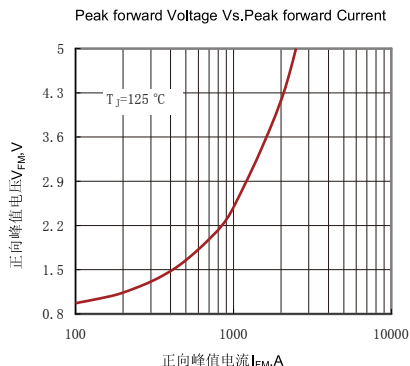


Fig.1 正向伏安特性曲线

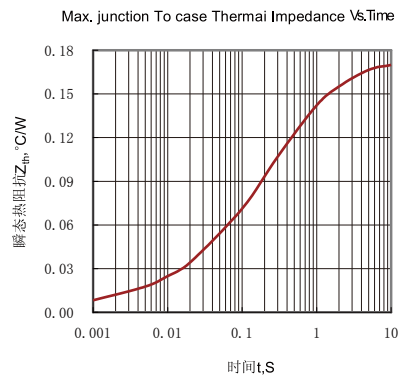


Fig.2 瞬态热阻抗曲线

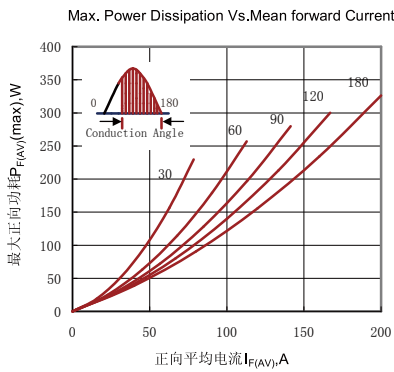


Fig.3 最大正向功耗与平均电流的关系曲线

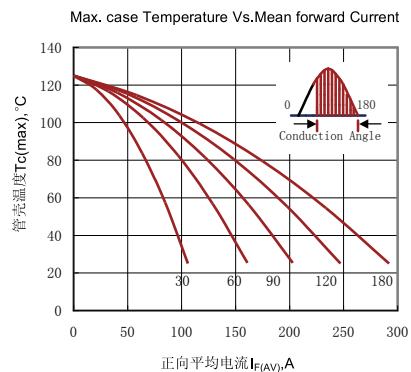


Fig.4 管壳温度与正向平均电流的关系曲线

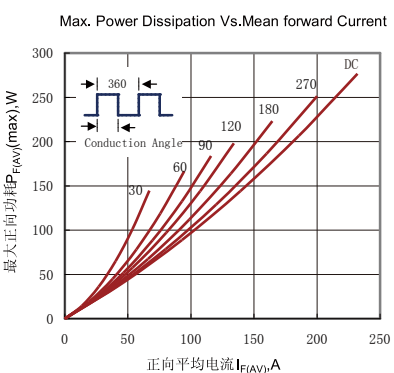


Fig.5 最大正向功耗与平均电流的关系曲线

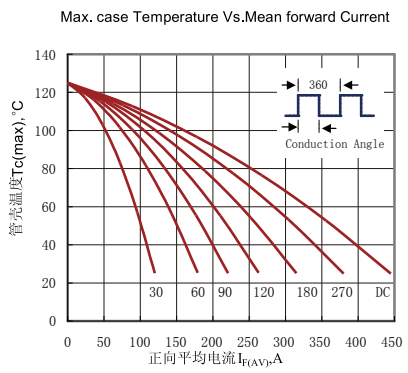


Fig.6 管壳温度与正向平均电流的关系曲线

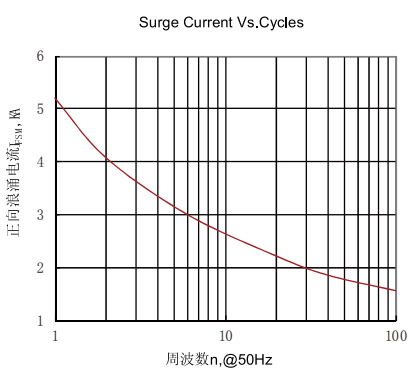


Fig.7 正向浪涌电流与周波数的关系曲线

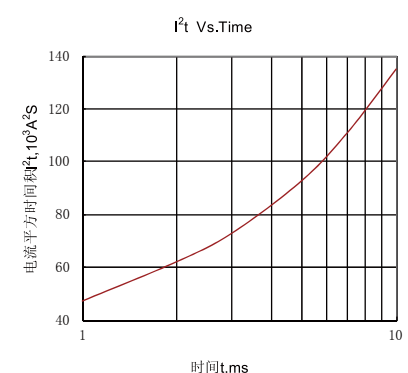


Fig.8 I^2t 特性曲线



LJ-MFC160A

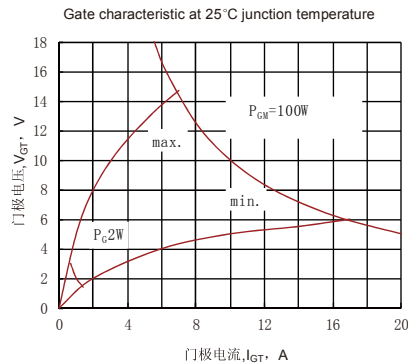


Fig.9 门极功率曲线

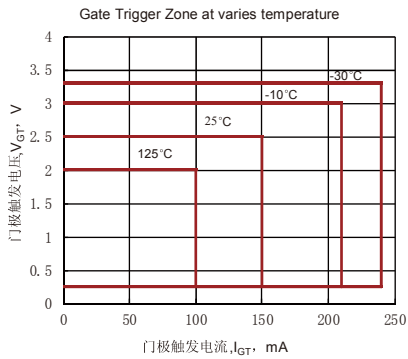


Fig.10 门极触发特性曲线

外形尺寸图

